

V703

Das Geiger-Müller-Zählrohr

Umut Aydinli
umut.aydinli@tu-dortmund.de

Muhammed-Sinan Demir
sinan.demir@tu-dortmund.de

Durchführung: 07.06.2022

Abgabe: 14.06.2022

TU Dortmund – Fakultät Physik

Inhaltsverzeichnis

1 Zielsetzung	3
2 Theorie	3
2.1 Der Aufbau der Geiger-Müller-Zählrohrs	3
2.2 Spannungsabhängiges Verhalten des Geiger-Müller-Zählrohrs	3
2.3 Tot-, Erholungszeit und Nachentladungen	5
2.4 Charakteristik des Zählrohrs	6
2.5 Bestimmung der Totzeit mit der Zwei-Quellen-Methode	7
2.6 Messung der pro Teilchen vom Zählrohr freigesetzten Ladungsmenge . . .	8
3 Versuchsaufbau und Versuchsdurchführung	8
3.1 Bestimmung der Zählrate von β -Strahlung	9
3.2 Bestimmung der Tot- und Erholungszeit mithilfe eines Oszilloskops	9
3.3 Bestimmung der Tot- und Erholungszeit durch Zwei-Quellen-Methode . .	9
4 Auswertung	9
4.1 Zählrohrcharakteristik	9
4.2 Totzeiten	12
4.3 Ladungsmenge pro Teilchen	13
5 Diskussion	14
6 Anhang	16
Literatur	17

1 Zielsetzung

In dem Versuch V703 geht es um die Bestimmung der Zählrate von β -Strahlung durch das Geiger-Müller-Zählrohr, sowie die Bestimmung der Totzeit durch zwei verschiedene Methoden, wobei eine die Zwei-Quellen-Methode ist.

2 Theorie

2.1 Der Aufbau der Geiger-Müller-Zählrohrs

Das Geiger-Müller-Zählrohr ist ein Zählrohr, welches aus einem Zylinderförmigen Mantel mit einem Draht in der Mitte besteht. Auf diesen Draht, welcher von einem Gasgemisch, bestehend aus Argon und Ethylalkohol, kann eine Betriebsspannung gelegt werden, wodurch eine Potentialdifferenz zwischen Mantel und Draht entsteht. Zu sehen ist so eine Geiger-Müller-Zählrohr in Abbildung 1. Verwendet wird dieses um ionisierende Strahlung zu messen, da bei eintretender ionisierter Strahlung ein elektrischer Impuls abgegeben wird, der von einem Messgerät leicht gezählt werden kann. Das dabei entstehende elektrische Feld wird berechnet durch

$$E(r) = \frac{U}{r \ln(r_k/r_a)}.$$

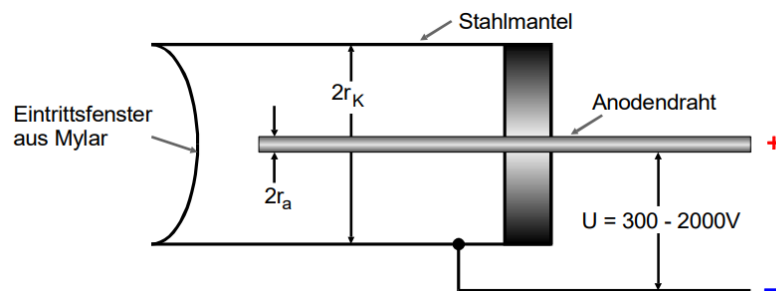


Abbildung 1: Querschnitt durch ein Endfenster-Zählrohr [1].

2.2 Spannungsabhängiges Verhalten des Geiger-Müller-Zählrohrs

Bei Absorption eines geladenen Teilchens vom Rohr, wird dieses solange durch den Gasraum bewegt bis die Energie aufgrund von Ionisationskontakten aufgebraucht ist. Ebenfalls gibt es verschiedene Verhalten des Zählrohr die Spannungsabhängig sind. Eingeteilt werden diese in fünf verschiedene Zonen, dessen Verlauf in Abbildung 2 bildlich dargestellt wird.

Die erste Zone ist die für kleine Betriebsspannungen, in welcher nur wenige Elektronen den Draht erreichen und die restlichen rekombinieren, bevor der Draht erreicht werden kann.

In der zweiten Zone ist die Betriebsspannung schon höher, sodass sehr viele Elektronen den Draht erreichen können und ohne davor zu rekombinieren, was dazu führt, dass ein Ionisationsstrom erzeugt wird, der proportional zur Energie der ionisierenden Strahlung ist.

In der dritten Zone ist die Spannung so hoch angelegt, dass die durch Ionisation entstandenen Elektronen so schnell durch das elektrische Feld beschleunigt werden, dass sie andere Atome beim Zusammenstoßen mit ionisieren. Dabei kommt es zu einer Kettenreaktion, welche auch als Townsend-Lawine bezeichnet wird.

Die vierte Zone ist die Zone, in welcher der Arbeitsbereich des Geiger-Müller-Zählrohrs liegt. Durch die sehr hohen Spannungen, entstehen bei der Primärlionisation in großer Zahl UV-Photonen, welche sich aufgrund der Ladungsneutralität senkrecht zum elektrischen Feld im Zählrohr ausbreiten. Dies sorgt für weitere Elektronenlawinen im gesamten Zählrohrvolumen und die daraus resultierenden elektrischen Impulse sind hinreichend groß, dass diese einfach mit einem Impulszähler gezählt werden können. Die letzte Zone ist die Entladungszone.

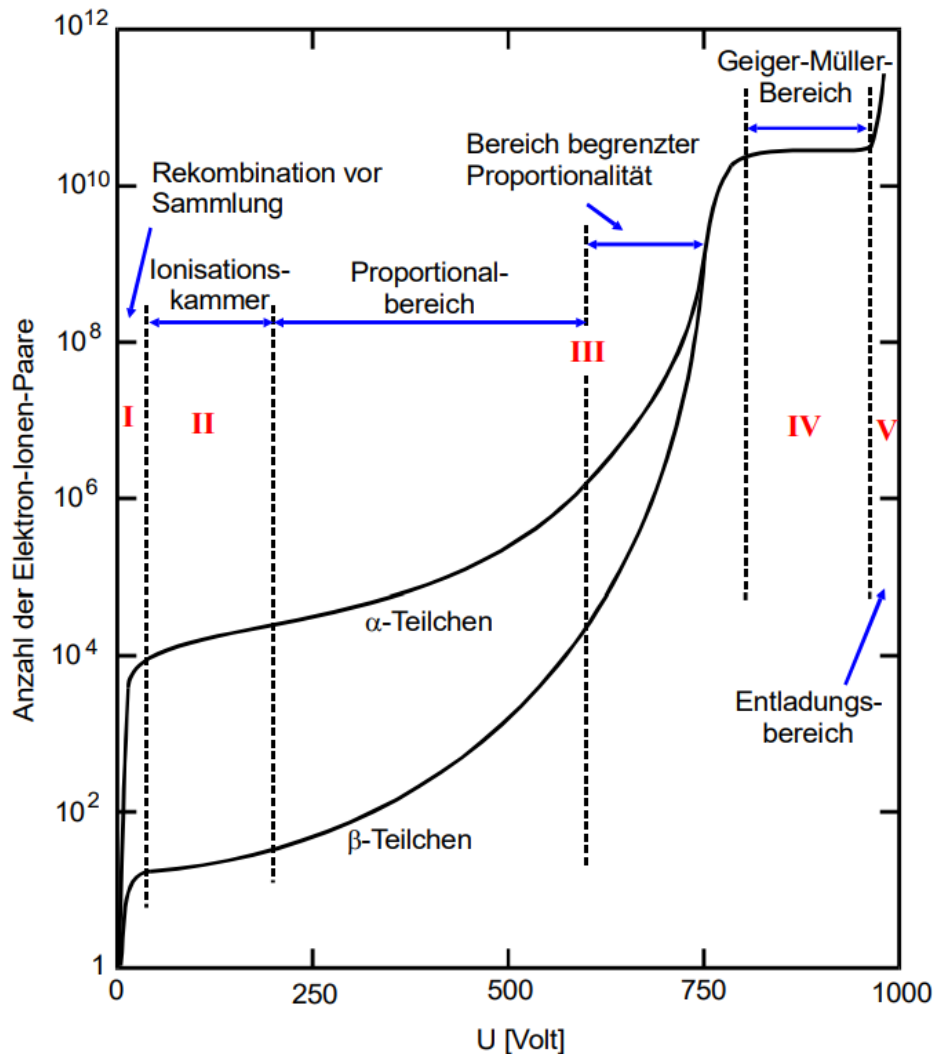


Abbildung 2: Anzahl der erzeugten Elektron-Ionenpaare als Funktion der Spannung U bei einem Proportionalzählrohr (nach Kleinknecht, Detektoren für Teilchenstrahlen) [1].

2.3 Tot-, Erholungszeit und Nachentladungen

Eine radialsymmetrische Raumladung entsteht, da sich die positiven Ionen auf Grund ihrer größeren Masse langsamer zur Kathode bewegen. Dies wird auch als Ionenschlauch bezeichnet. Aus diesem Grund nimmt die Feldstärke für einen Zeitraum T sehr stark ab, sodass keine Stoßionisationen erfolgen können. Die Teilchen, die in der Zeit eintreffen können nicht registriert werden, dieser Zeitraum wird deshalb auch als Totzeit bezeichnet. Es können wegen steigender Feldstärke weitere Lawinen ausgelöst werden. Die zunächst registrierten Ladungsimpulse sind ein wenig schwächer, da das elektrische Feld erst kontinuierlich entstehen muss, wobei der Zeitraum, in dem dies stattfindet, als

Erholungszeit bezeichnet wird. Nebeneffekte bei dem Vorgang sind die Nachentladungen, da Elektronen aus dem Metall gelöst werden können, wenn die positiven Ionen auf dem Mantel treffen. Diese lösen erneut Zählrohrentladungen aus. In Abbildung 3 wird der beschriebene Prozess verbildlicht.

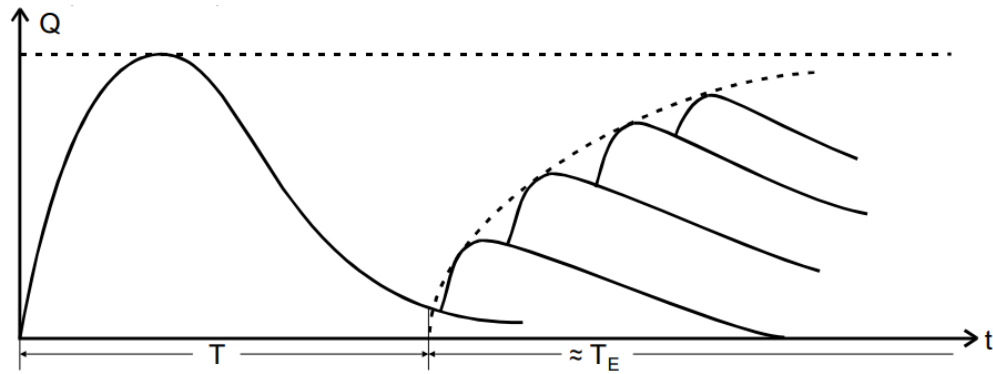


Abbildung 3: Tot- und Erholungszeit eines Zählrohrs, dargestellt im Ladungs-Zeit-Diagramm [1].

2.4 Charakteristik des Zählrohrs

Der Arbeitsbereich eines Geiger-Müller-Zählrohr ist in Abbildung 4 zu sehen. Es fällt auf, dass zwischen der Spannung U_E , bei welcher der Auslösebereich eintritt, und dem Bereich wo die Dauerentladung eintritt, die Kurve einen linearen Verlauf annimmt. Dieser wird auch Plateau genannt, welches bei einem idealen Zählrohr nicht ansteigen würde, jedoch ist ein kleiner Anstieg aufgrund der Nachladung vorhanden.

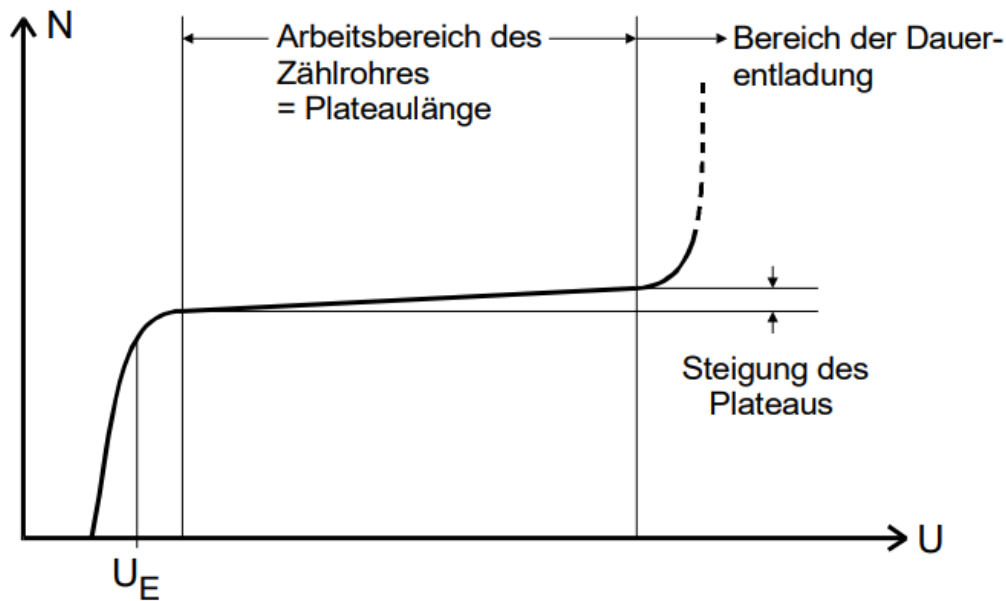


Abbildung 4: Zählrohrcharakteristik [1].

2.5 Bestimmung der Totzeit mit der Zwei-Quellen-Methode

Durch die Totzeit kommt es dazu, dass die registrierte Impulsrate immer kleiner ist als die Anzahl absorbierte Teilchen

$$N_w = \frac{\text{Impulsrate}}{\text{Messzeit}} = \frac{N_r t}{(1 - T N_r) t} = \frac{N_r}{1 - T N_r} \quad (1)$$

Würde keine Totzeit auftreten würde

$$N_{1+2} = N_1 + N_2$$

gelten. Jedoch wird beobachtet, dass

$$N_{1+2} < N_1 + N_2$$

gilt. Die Anzahl der in das Zählrohrvolumen eingedrungenen Teilchen wird mit der Gleichung (1) berechnet, dadurch ergibt sich

$$\frac{N_1}{1 - T N_1}$$

und

$$\frac{N_2}{1 - T N_2}$$

Da $N_{1+2} = N_1 + N_2$ ist, folgt für die Totzeit Näherungsweise

$$T \approx \frac{N_1 + N_2 - N_{1+2}}{2 N_1 N_2} . \quad (2)$$

2.6 Messung der pro Teilchen vom Zählrohr freigesetzten Ladungsmenge

Mit Hilfe eines Strommessgerätes kann der mittlere Zählrohrstrom \bar{I} gemessen werden, wodurch sich dann mit

$$I = \frac{\Delta Q}{\Delta t} Z \quad (3)$$

die Ladungsmenge ΔQ bestimmen lässt.

3 Versuchsaufbau und Versuchsdurchführung

Zusehen ist der Versuchsaufbau in der Abbildung 5. Der Aufbau besteht aus einem Oszilloskop, einem Spannungsgenerator, einem Verstärker, einem Zählratenmesser, einer bzw. zwei β -Strahlungsquellen und einem Geiger-Müller-Zählrohr. Der Spannungsgenerator wird mit dem Geiger-Müller-Zählrohr verbunden, welches ebenso mit dem Zähler verbunden ist. Über den Zählratenmesser wird das Signal verstärkt über den Verstärker und auf dem Oszilloskop projiziert. Das Geiger-Müller-Zählrohr befindet sich mit den β -Strahlenproben in einem Aluminiumkasten.

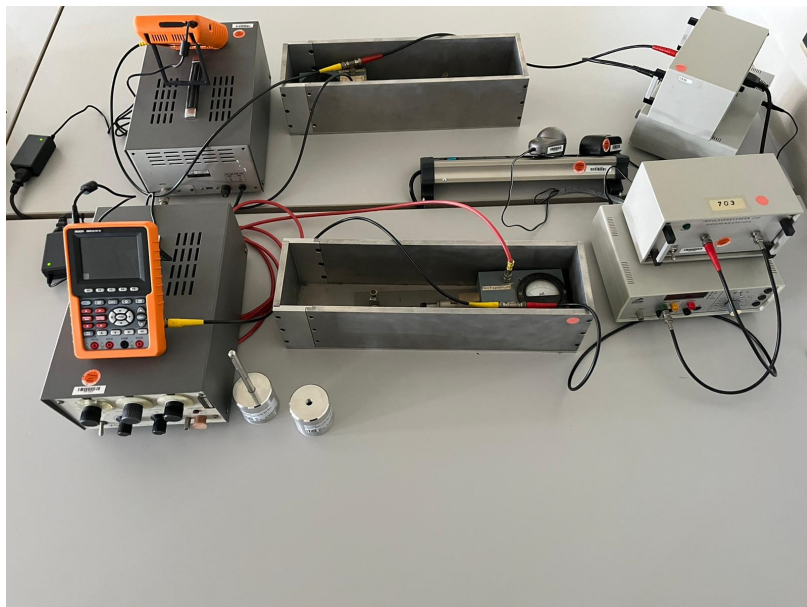


Abbildung 5: Die Abbildung zeigt den gesamten Versuchsaufbau.

3.1 Bestimmung der Zählrate von β -Strahlung

Der Aufbau wird wie in Abbildung 5 aufgebaut. Zuerst wird der Timer des Zählratenmessers auf 60 s und die Spannung von auf 320 V gestellt. Danach wird die β -Strahlenproben in den Aluminiumkasten vor das Geiger-Müller-Zählrohr platziert. Aufgenommen werden die Zählrate und der Strom, welcher auf dem Geiger-Müller-Zählrohr abzulesen ist, notiert. Dies wird für die Spannungen $320 \text{ V} \leq x \leq 700 \text{ V}$, in jeweils 10 V Schritten, wiederholt.

3.2 Bestimmung der Tot- und Erholungszeit mithilfe eines Oszilloskops

Der Aufbau wird nicht verändert. Als nächstes wird die Spannung auf 500 V gestellt und der Verlauf auf dem Oszilloskop wird fotografiert.

3.3 Bestimmung der Tot- und Erholungszeit durch Zwei-Quellen-Methode

Der Aufbau wird erneut nicht verändert. Diesmal wird der Timer des Zählratenmessers auf 120 s und die Spannung von auf 500 V gestellt. Danach werden drei verschiedene Messungen durchgeführt. Zuerst wird die Messung für die erste Probe, isoliert, durchgeführt. Danach wird die Messung für die zweite Probe, ebenfalls isoliert, durchgeführt. Und als letztes werden beide Proben gleichzeitig in dem Kasten platziert und die Zählrate aufgenommen. Wichtig dabei zu beachten ist, dass die Zählrate der beiden isoliert aufgenommenen Proben zusammen addiert höher ist als die der gleichzeitig verwendeten Proben.

4 Auswertung

4.1 Zählrohrcharakteristik

Die Zählrate N und der Strom I_A werden in Abhängigkeit von der Betriebsspannung U aufgenommen. Aufgenommen werden Messwerte von 320 V bis 700 V in 10 V Schritten mit einer Messzeit von $t = 60 \text{ s}$. Die Messwerte befinden sich in der Tabelle 1. Das Plateau wird im Bereich von 390 V bis 620 V angenommen, mit einer Plateaulänge von 230 V.

Tabelle 1: Die Messwerte der Charakteristik

U / V	N	N/60s / $\frac{1}{s}$	I / 10^{-6} A
320	4643 ± 68	$77,38 \pm 8,79$	$0,10 \pm 0,05$
330	4772 ± 69	$79,53 \pm 8,91$	$0,10 \pm 0,05$
340	4898 ± 69	$81,63 \pm 9,03$	$0,10 \pm 0,05$
350	4976 ± 70	$82,93 \pm 9,10$	$0,15 \pm 0,05$
360	5070 ± 71	$84,50 \pm 9,19$	$0,15 \pm 0,05$
370	4975 ± 70	$82,91 \pm 9,10$	$0,20 \pm 0,05$
380	4839 ± 69	$80,50 \pm 8,98$	$0,20 \pm 0,05$
390	5062 ± 71	$84,36 \pm 9,18$	$0,20 \pm 0,05$
400	5110 ± 71	$85,16 \pm 9,22$	$0,20 \pm 0,05$
410	5105 ± 71	$85,04 \pm 9,22$	$0,20 \pm 0,05$
420	4827 ± 69	$80,45 \pm 8,96$	$0,20 \pm 0,05$
430	4943 ± 70	$82,83 \pm 9,07$	$0,20 \pm 0,05$
440	5098 ± 71	$84,96 \pm 9,21$	$0,30 \pm 0,05$
450	5049 ± 71	$84,15 \pm 9,17$	$0,30 \pm 0,05$
460	5116 ± 71	$85,26 \pm 9,23$	$0,30 \pm 0,05$
470	5096 ± 71	$84,93 \pm 9,21$	$0,30 \pm 0,05$
480	5020 ± 70	$83,66 \pm 9,14$	$0,30 \pm 0,05$
490	5011 ± 70	$83,51 \pm 9,13$	$0,35 \pm 0,05$
500	4995 ± 70	$83,25 \pm 9,12$	$0,35 \pm 0,05$
510	5092 ± 71	$84,86 \pm 9,21$	$0,35 \pm 0,05$
520	5181 ± 71	$86,35 \pm 9,29$	$0,40 \pm 0,05$
530	4998 ± 70	$83,30 \pm 9,12$	$0,40 \pm 0,05$
540	5180 ± 71	$86,33 \pm 9,29$	$0,40 \pm 0,05$
550	5147 ± 71	$85,78 \pm 9,26$	$0,40 \pm 0,05$
560	5086 ± 71	$84,76 \pm 9,20$	$0,40 \pm 0,05$
570	5171 ± 71	$86,18 \pm 9,28$	$0,40 \pm 0,05$
580	5155 ± 71	$85,91 \pm 9,26$	$0,40 \pm 0,05$
590	5005 ± 70	$83,41 \pm 9,13$	$0,40 \pm 0,05$
600	5193 ± 72	$86,55 \pm 9,30$	$0,40 \pm 0,05$
610	5119 ± 71	$85,31 \pm 9,23$	$0,40 \pm 0,05$
620	5097 ± 71	$84,95 \pm 9,21$	$0,50 \pm 0,05$
630	5222 ± 72	$87,03 \pm 9,32$	$0,50 \pm 0,05$
640	5245 ± 72	$87,41 \pm 9,34$	$0,50 \pm 0,05$
650	5206 ± 72	$86,76 \pm 9,31$	$0,50 \pm 0,05$
660	5216 ± 72	$86,93 \pm 9,32$	$0,50 \pm 0,05$
670	5263 ± 72	$87,71 \pm 9,34$	$0,50 \pm 0,05$
680	5303 ± 72	$88,38 \pm 9,40$	$0,60 \pm 0,05$
690	5390 ± 73	$89,83 \pm 9,47$	$0,60 \pm 0,05$
700	5302 ± 72	$88,36 \pm 9,40$	$0,60 \pm 0,05$

Geführt wird eine lineare Regression am Plateau, in der Abbildung 6, mit der Ausgleichsrechnung

$$y = mx + b.$$

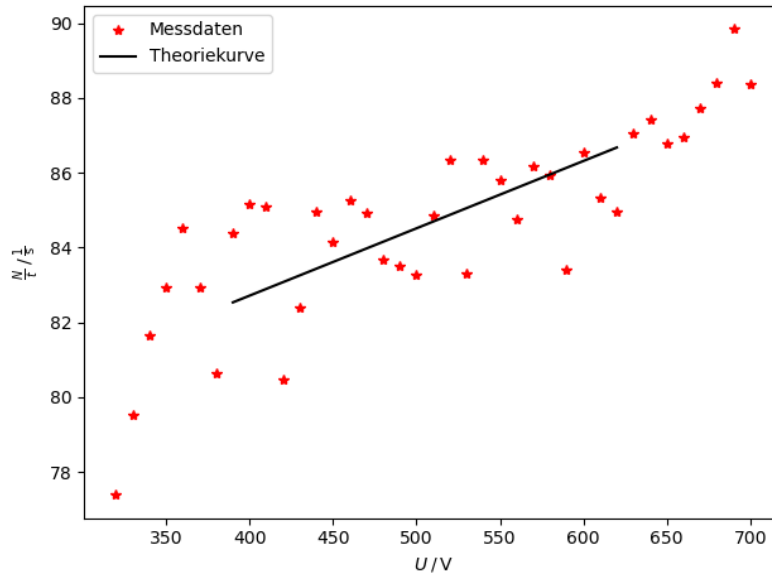


Abbildung 6: Die Steigung am Plateau mit der Spannung auf der x-Achse und der Zahlrate geteilt durch 60s auf der y-Achse.

Die Regression liefert die Parameter

$$\begin{aligned} \text{Steigung } m &= (0,0084 \pm 0,0039) \frac{1}{V}, \\ b &= (80,38 \pm 1,99) \frac{1}{s}, \\ \rightarrow y &= (0,0084 \pm 0,0039) x + (80,38 \pm 1,99). \end{aligned}$$

Aus den Parametern berechnet sich die prozentuale Steigung der Gerade nach der Formel

$$\frac{y(U_2) - y(U_1)}{y(U_2)} \cdot 100 = 0,69\%. \quad (4)$$

Demnach beträgt die prozentuale Steigung $m_{\%} = 0,69\%$. Wird die Steigung durch den Faktor der Plateaulänge dividiert, so folgt für die Steigung

$$m = 0,978\% \quad \text{pro } 100 \text{ V}.$$

4.2 Totzeiten

Die Totzeit wird durch das Ablesen am Oszillographen bestimmt. Demnach folgt für die abgelesene Totzeit, anhand der Abbildung 7, einen Wert von

$$T_{\text{Osz.}} = (80 \pm 5) \mu\text{s}.$$



Abbildung 7: Tot und Erholungszeit am Oszillographen.

Anhand der 2-Quellen-Methode wird erneut die Totzeit bestimmt. Ausgenutzt wird bei dieser Methode, dass aufgrund der Totzeit die registrierte Impulszahl N_r kleiner ist als die wahre Anzahl N_w der in das Zählrohr gelangten ionisierenden Teilchen. Angelegt ist eine Spannung von 500 V und gemessen wird für 120 s. Durch die Formel (2) berechnet sich die Totzeit. Mit den gemessenen Werten aus Tabelle 2 ergibt sich

$$T = (72,29 \pm 4,41) \cdot 10^{-6} \text{ s}.$$

Tabelle 2: Messwerte der Totzeiten.

N_1	N_2	N_{1+2}
87390 ± 295	11734 ± 342	180013 ± 424

4.3 Ladungsmenge pro Teilchen

Mit Hilfe der gemessenen Zählrate und dazugehörigen Ströme, wird nach der Formel (3) die Ladungsmengen pro vom Zählrohr freigesetztem Teilchen ermittelt. Die Anzahl der Ladungsmenge wird berechnet indem die Ladungsmengen durch die Elementarladung geteilt wird. Benutzt werden nur ausgewählte Messwerte, zu sehen in Tabelle 3. Anschließend wird die Ladungsmenge gegen die Spannung in Abbildung 8 aufgetragen und eine lineare Regression mit der Ausgleichsfunktion

$$y = ax + b$$

durchgeführt.

Tabelle 3: Messwerte zur Ladungswerk.

U / V	N	N/60 s / $\frac{1}{s}$	I / 10^{-6} A	ΔQ / 10^{-9} C	$\frac{\Delta Q}{e_0}$ / 10^{10}
350	4976 ± 70	$82,93 \pm 9,10$	$0,15 \pm 0,05$	$1,80 \pm 0,01$	1,12
380	4839 ± 69	$80,50 \pm 8,98$	$0,20 \pm 0,05$	$2,47 \pm 0,02$	1,54
410	5105 ± 71	$85,04 \pm 9,22$	$0,20 \pm 0,05$	$2,35 \pm 0,02$	1,46
450	5049 ± 71	$84,15 \pm 9,17$	$0,30 \pm 0,05$	$3,56 \pm 0,02$	2,22
500	4995 ± 70	$83,25 \pm 9,12$	$0,35 \pm 0,05$	$4,20 \pm 0,02$	2,62
550	5147 ± 71	$85,78 \pm 9,26$	$0,40 \pm 0,05$	$4,66 \pm 0,02$	2,91
600	5193 ± 72	$86,55 \pm 9,30$	$0,40 \pm 0,05$	$4,62 \pm 0,03$	2,88
630	5222 ± 72	$87,03 \pm 9,32$	$0,50 \pm 0,05$	$5,74 \pm 0,04$	3,58
680	5303 ± 72	$88,38 \pm 9,40$	$0,60 \pm 0,05$	$6,78 \pm 0,02$	4,23

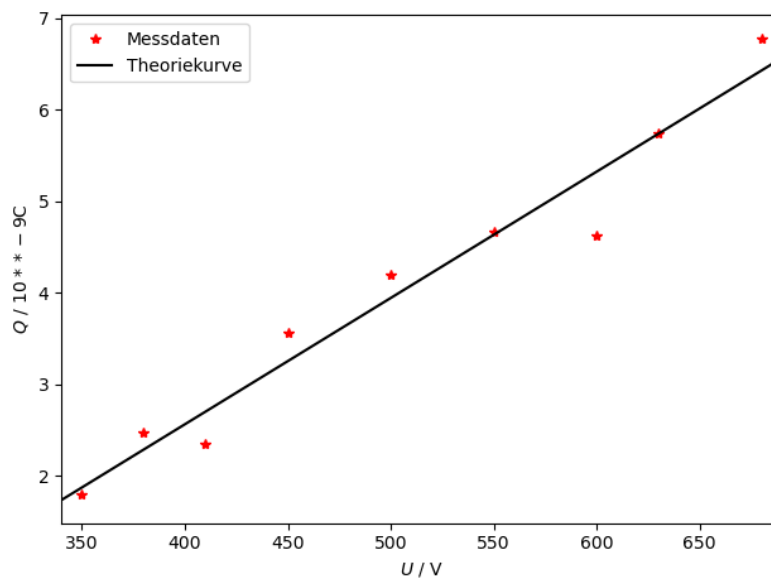


Abbildung 8: Die Ladungsmenge gegen die Spannung geplottet, mit der dazugehörigen Ausgleichsgerade.

Die Parameter ergeben

$$a = (1,38 \pm 0,11) \cdot 10^{-21} \frac{\Delta C}{\Delta V},$$

$$b = (-2,95 \pm 0,57) \cdot 10^{-19} \text{ C}.$$

5 Diskussion

Durch die gemessenen Werte formt sich die Kurve der Charakteristik des Zählrohres, dennoch ist sie nicht vollständig ausgeprägt. Mit einer Plateausteigung von $m = 0,978\%$ pro 1000 V ist die Steigung akzeptabel, denn je näher an einer Steigung von 0%, desto besser der Bereich.

Die Abweichung der gemessenen Totzeit und der errechneten Totzeit beträgt

$$T_{\text{Osz.}} = (80 \pm 5) \mu\text{s} \quad T = (72,29 \pm 4,41) \mu\text{s}$$

$$\rightarrow 10,66\%.$$

Obwohl die Abweichung gering ist sind Ungenauigkeiten vorhanden. Mögliche Fehlerquellen sind z.B das falsche Ablesen der Totzeit oder das viele Auftreten der Nachentladungen. Die Beziehung der Spannung und der freigesetzten Ladungsmenge, ein linearer Anstieg, wurde mit der Regression bekräftigt. Resümierend lässt sich sagen, dass durch den Versuch am Geiger-Mülle-Zählrohr die Funktionsweise der Apparatur sowie die verschiedenen Kenngrößen angelernt und untersucht werden können.

6 Anhang

V703						
<u>11</u>	V	μA	Z	V	μA	Z
	320	0,1 ± 0,05	4643	610		
	330	0,1 ± 0,05	4772	620		
	340	0,1 ± 0,05	4838	630		
	350	0,15 ± 0,05	4976	640		
	360	0,15 ± 0,05	5070	650		
	370	0,2 ± 0,05	4975	660		
	380	0,2 ± 0,05	4839	670		
	390	0,2 ± 0,05	5062	680		
	400	0,2 ± 0,05	5110	690		
	410	0,2 ± 0,05	5105	700		
	420	0,2 ± 0,05	4827			
	430	0,2 ± 0,05	4943			
	440	0,3 ± 0,05	5038			
	450	0,3 ± 0,05	5049			
	460	0,3 ± 0,05	5116			
	470	0,3 ± 0,05	5096			
	480	0,3 ± 0,05	5020			
	490	0,35 ± 0,05	5011			
	500	0,35 ± 0,05	4995			
	510	0,35 ± 0,05	5092			
	520	0,4 ± 0,05	5181			
	530	0,4 ± 0,05	4998			
	540	0,4 ± 0,05	5180			
	550	0,4 ± 0,05	5147			
	560	0,4 ± 0,05	5086			
	570	0,4 ± 0,05	5171			
	580	0,4 ± 0,05	5155			
	590	0,4 ± 0,05	5005			
	600	0,4 ± 0,05	5193			
	610	0,4 ± 0,05	5119			
	620	0,5 ± 0,05	5097			
	630	0,5 ± 0,05	5222			
	640	0,5 ± 0,05	5245			
	650	0,5 ± 0,05	5206			
	660	0,5 ± 0,05	5216			
	670	0,5 ± 0,05	5263			
	680	0,6 ± 0,05	5303			
	690	0,6 ± 0,05	5390			
	700	0,6 ± 0,05	5307			

<u>21</u>		
Totzeit	N ₁	200 120s
V	μA	Z
500	1,9	87390

Totzeit	N ₁ + N ₂
V	μA
500	4
	180013

Totzeit	N ₂
V	μA
500	2,6
	180013
	585
	117,334

Literatur

- [1] TU Dortmund. *Das Geiger-Müller-Zählrohr*. 2022. URL: https://moodle.tu-dortmund.de/pluginfile.php/1977204/mod_resource/content/2/V703.pdf (besucht am 07.06.2022).